

УДК 539.3

РАЗРЕЖЕННЫЕ МАТРИЦЫ ПРИ РЕШЕНИИ ЗАДАЧ ТЕОРИИ ОБОЛОЧЕК

В.Л. Никитенков

Рассмотрена структура разреженных матриц большой размерности, получаемых при решении линейного приближения для краевых задач теории оболочек двумерным методом сплайн-коллокации. Обсуждаются вопросы упаковки-распаковки и определения программной среды при реализации метода Гаусса с выбором главного элемента.

При решении нелинейных краевых задач теории оболочек методом сплайн-коллокации [1, 2] появляется необходимость реализации итерационной процедуры для операторного уравнения второго рода, составной частью которой является СЛАУ с сильно разреженной матрицей. Размерность матрицы такова, что не позволяет для ее хранения использовать оперативную и даже дисковую память. В данной работе проводится анализ структуры матрицы СЛАУ, предложен простой способ упаковки-распаковки и программная реализация метода исключения Гаусса, построенная на его основе ¹.

1. Нелинейный вариант разрешающих уравнений почти цилиндрических оболочек

Параметризация с помощью круговой цилиндрической оболочки σ_0 радиуса R_0 , позволяет выписать основные геометрические соотношения для произвольной почти цилиндрической оболочки σ [2, 3, 4, 5].

Пусть поверхность отсчета σ_0 отображается на искомую поверхность σ с помощью векторного равенства (см. рис. 1)

$$\mathbf{r}(\alpha_1, \alpha_2) = \mathbf{r}(\alpha_1, \alpha_2) + H(\alpha_1, \alpha_2)\mathbf{n} \quad (1)$$

¹В работе частично использованы материалы дипломных работ выпускниц математического факультета 1999 года В.И. Казаниной и Ю.В. Басацкой.

функция $H(\alpha_1, \alpha_2)$ является параметром

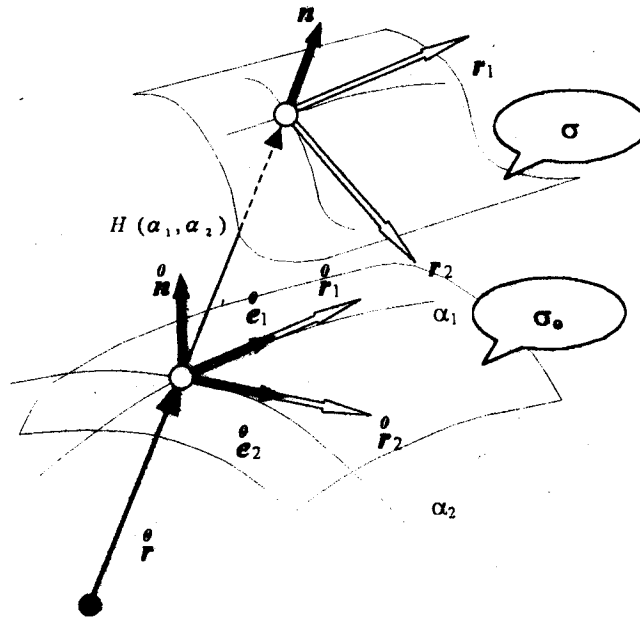


Рис.1

Введем обозначения

$$H_1 = \frac{\partial H}{\partial \alpha_1}, \quad H_2 = \frac{\partial H}{\partial \alpha_2}. \quad (2)$$

Тогда геометрические параметры исходной поверхности (компоненты метрического тензора a_{ij} и тензора кривизны b_{ij} , символы Кристоффеля Γ^k_{ij} и др.) будут функциями от H , H_1 , H_2 [4, 5].

Будем предполагать, что криволинейные координаты на исходной поверхности σ ортогональны, т.е. (т.е. либо $H_1 = 0$, либо $H_2 = 0$). При $H_1 = 0$ имеем цилиндрическую поверхность с произвольной формой поперечного сечения. При $H_2 = 0$ имеем круговую цилиндрическую оболочку переменного радиуса (оболочка вращения).

Далее, следуя [6, 7], можно получить нелинейную (в соответствии с принятой квадратичной аппроксимацией) систему разрешающих уравнений равновесия оболочки относительно трех перемещений u_1 , u_2 , w в матричной форме записи для указанных оболочек

$$L(\alpha_1, \alpha_2, H, H_i) \mathbf{u} + \mathbf{G}(\alpha_1, \alpha_2, H, H_i, w) = \mathbf{q}. \quad (3)$$

где

$L = \|L_{ij}\|$, $i, j = 1 : 3$ - матрица из операторов дифференцирования соответствующих линейной теории оболочек;

$\mathbf{G}(w) = [G_1(w), G_2(w), G_n(w)]$ - вектор нелинейных слагаемых;

$\mathbf{q} = [q^1, q^2, q^n]$ - вектор приведенных нагрузок;

$\mathbf{u} = [u_1, u_2, w]$ - вектор смещений.

2. Численный метод

В рамках итерационного подхода [8] к системе (3) одним из этапов является решение линейной системы

$$L(\alpha_1, \alpha_2, H, H_i)\mathbf{u}^{(k)} = \mathbf{q}^{(k)}. \quad (4)$$

Условие периодичности решения (4) по окружной переменной α_2 будет выполнено, если перемещения в узлах некоторой сетки $((\alpha_1^i, \alpha_2^k), i \in (0, N - 1), k \in (0, M))$ искать в виде двумерных B -сплайнов [9, 10]

$$\begin{aligned} u_1 &= \sum_{k=0}^{N-1} \sum_{j=-2}^{M+2} x_{ki} B_k(\alpha_2^l) b_i(\alpha_1^j) = \sum_{k=0}^{N-1} \sum_{j=-2}^{M+2} x_{ki} B_0(\alpha_2^l - \alpha_2^k) b_0(\alpha_1^j - \alpha_1^i), \\ u_2 &= \sum_{k=0}^{N-1} \sum_{j=-2}^{M+2} \tilde{x}_{ki} B_k(\alpha_2^l) b_i(\alpha_1^j) = \sum_{k=0}^{N-1} \sum_{j=-2}^{M+2} \tilde{x}_{ki} B_0(\alpha_2^l - \alpha_2^k) b_0(\alpha_1^j - \alpha_1^i), \\ w &= \sum_{k=0}^{N-1} \sum_{j=-2}^{M+2} \tilde{\tilde{x}}_{ki} B_k(\alpha_2^l) b_i(\alpha_1^j) = \sum_{k=0}^{N-1} \sum_{j=-2}^{M+2} \tilde{\tilde{x}}_{ki} B_0(\alpha_2^l - \alpha_2^k) b_0(\alpha_1^j - \alpha_1^i), \end{aligned} \quad (5)$$

где

$B_0(\alpha)$ - 2π -периодический B -сплайн,

$b_0(\alpha)$ - B -сплайн, удовлетворяющий граничным условиям по α_1 .

После подстановки (5) в (4) система примет вид (индекс k опускаем)

$$\left\{ \begin{array}{l} L_{11} \left(\sum_{k=0}^{N-1} \sum_{j=-2}^{M+2} x_{ki} B_k(\alpha_2^l) b_i(\alpha_1^j) \right) + L_{12} \left(\sum_{k=0}^{N-1} \sum_{j=-2}^{M+2} \tilde{x}_{ki} B_k(\alpha_2^l) b_i(\alpha_1^j) \right) + \\ \quad + L_{13} \left(\sum_{k=0}^{N-1} \sum_{j=-2}^{M+2} \tilde{\tilde{x}}_{ki} B_k(\alpha_2^l) b_i(\alpha_1^j) \right) = q^1(\alpha_1^j, \alpha_2^l), \\ L_{21} \left(\sum_{k=0}^{N-1} \sum_{j=-2}^{M+2} x_{ki} B_k(\alpha_2^l) b_i(\alpha_1^j) \right) + L_{22} \left(\sum_{k=0}^{N-1} \sum_{j=-2}^{M+2} \tilde{x}_{ki} B_k(\alpha_2^l) b_i(\alpha_1^j) \right) + \\ \quad + L_{23} \left(\sum_{k=0}^{N-1} \sum_{j=-2}^{M+2} \tilde{\tilde{x}}_{ki} B_k(\alpha_2^l) b_i(\alpha_1^j) \right) = q^2(\alpha_1^j, \alpha_2^l), \\ L_{31} \left(\sum_{k=0}^{N-1} \sum_{j=-2}^{M+2} x_{ki} B_k(\alpha_2^l) b_i(\alpha_1^j) \right) + L_{32} \left(\sum_{k=0}^{N-1} \sum_{j=-2}^{M+2} \tilde{x}_{ki} B_k(\alpha_2^l) b_i(\alpha_1^j) \right) + \\ \quad + L_{33} \left(\sum_{k=0}^{N-1} \sum_{j=-2}^{M+2} \tilde{\tilde{x}}_{ki} B_k(\alpha_2^l) b_i(\alpha_1^j) \right) = q^n(\alpha_1^j, \alpha_2^l). \end{array} \right. \quad (6)$$

Добавляя в систему необходимое количество граничных условий (для доопределения сплайна $b_0(\alpha_1)$ за пределами сетки воспользуемся однородными условиями на перемещения), приходим к СЛАУ

$$A[n, n] \cdot X[n] = F[n] \quad (7)$$

относительно $n = 3N(M + 5)$ переменных $X[n] = (\|x_{ki}\|, \|\tilde{x}_{ki}\|, \|\tilde{\tilde{x}}_{ki}\|)$, расположенных в указанном порядке.

Структура матрицы A приведена на рис.2, где выделены области расположения ненулевых элементов.

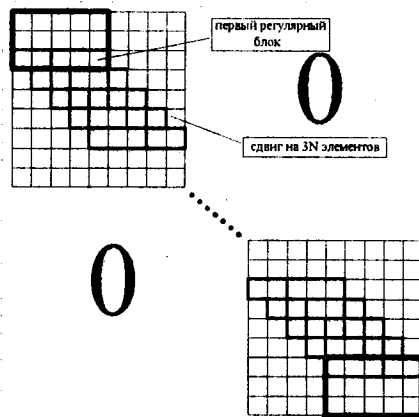


Рис.2

3. Структура матрицы и степень разреженности

Данная матрица в области ненулевых элементов состоит из прямоугольных блоков размером $3N \cdot 15N$ элементов. Два первых и два последних блока составлены из $6N$ строк, порожденных граничными условиями, и $12N$ строк, относящихся к доопределению сплайна $b_0(\alpha_1)$. Остальные блоки включают в себя по $3N$ строк, соответствующих точкам сетки по окружной координате α_2 для трех уравнений разрешающей системы (3). В состав прямоугольного блока входят пять прямоугольных блоков $3N \cdot 3N$, каждый из которых образован представителями групп неизвестных ($\|x_{ki}\|$, $\|\tilde{x}_{ki}\|$, $\|\tilde{\tilde{x}}_{ki}\|$) в каждом из трех уравнений системы (см. рис. 3). И, наконец, прямоугольный блок $N \cdot N$ (рис. 4) соответствует одной из групп неизвестных (например, $\|x_{ki}\|$) в одном из уравнений системы. Этот блок (назовем его атомарным) имеет структуру почти пятидиагональной матрицы, нарушаемую (в основаниях побочной диагонали) за счет условий периодичности используемых B -сплайнов.

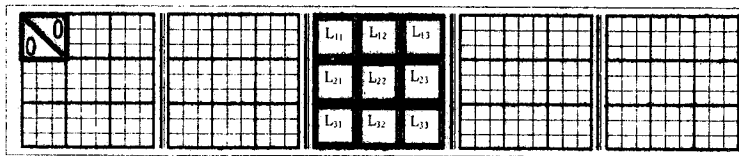


Рис.3

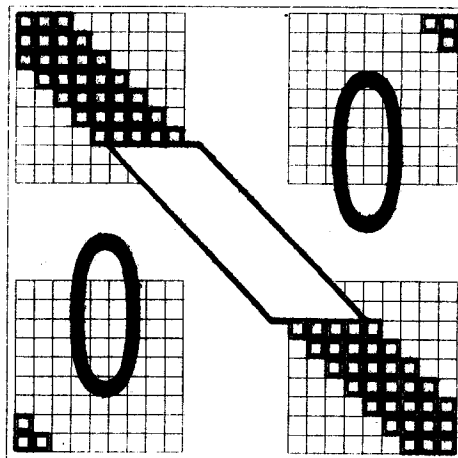


Рис.4

Подсчитаем теперь число ненулевых элементов матрицы. Атомарный блок имеет в каждой строке пять ненулевых элементов. В прямоугольный блок входит пятнадцать атомарных. Следовательно, в каждой строке матрицы $A[n, n]$ ровно 75 ненулевых из $3N(M+5)$ элементов. Степень заполненности матрицы (в процентах) равна

$$S_n = 75/n \cdot 100\% \quad (8)$$

и убывает пропорционально n . Так $S_{150} = 16.6\%$ ($N = M = 10$), $S_{10500} = 0.25\%$ ($N = M = 100$), а при ($N = M = 1000$) $S_{1005000} = 0.0025\%$ (один из 40000 элементов - ненулевой). Если учесть число элементов матрицы хотя бы при $N = M = 100$ ($99225 \cdot 10^4$), то объем памяти для ее хранения составит примерно 15 Гб. Это обстоятельство не позволяет использовать обычные алгоритмы решения СЛАУ, а требует реализации методов, работающих с упакованными матрицами.

4. Упаковка и реализация метода Гаусса

Регулярная структура атомарного блока позволяет произвести плотную упаковку исходной матрицы без использования дополнительных разметочных массивов и получить упакованную матрицу размером $n \cdot 75$ (в рассматриваемом примере она содержит 2362500 элементов и требует для хранения примерно 37 Мб памяти). Ниже приведены фрагменты Pascal-процедур, реализующих упаковку (Pack) и распаковку (Unpack) строки.

```
{процедура упаковки строки b ---> y,
  l - номер строки в атомарном блоке}
Procedure Pk(l : integer; var b : Vector; var y : Pvector );
var i, j : integer;
.....
      for i:=1 to 15 do
      for j:=1 to 5 do y[5*(i-1)+j]:=b[n*(i-1)+1-3+j];
.....
      y[76]:=b[nr];{правая часть} y[0]:=1;{номер строки}
end{of Pk};

{процедура распаковки строки y ---> b}
Procedure Upk(l : integer; var b : Vector; var y : Pvector );
var i, j : integer;
begin
      for i:=1 to nr do b[i]:=0;
      l:=Round(y[0]);
```

```

.....
      else for i:=1 to 15 do
            for j:=1 to 5 do b[n*(i-1)+1-3+j]:=y[5*(i-1)+j];
.....
      b[nr]:=y[76];
end{of Upk};

```

Метод Гаусса с выбором главного элемента использует данные процедуры упаковки и распаковки внутри своих итераций следующим образом:

1. Выбор главного элемента

- (a) Вызов очередной строки (Unpack)
- (b) Выбор максимального по абсолютной величине ведущего элемента

2. Итерация исключения

- (a) Вызов ведущей строки (Unpack)
- (b) Преобразование ведущей строки (Pack)
- (c) Вызов текущей строки (Unpack)
- (d) Преобразование текущей строки (Pack)

3. Обратный ход

- (a) Вызов текущей строки (Unpack)
- (b) Вычисление очередной компоненты решения (Pack)

Процедуры исключения метода Гаусса будут различаться для следующих частей матрицы A (см. рис. 2 и фрагмент программы ниже).

```

{процедура исключения для всей матрицы (прямой ход)}
Procedure GAUSS_D;
begin
  BoardG1; {первый блок граничных условий}
  BoardG2; {второй блок граничных условий}
  for nb:=0 to m-3 do RegG(nb); {регулярные блоки}
  NonRegG1;
  NonRegG2; {предпоследний блок граничных условий}
  BoardGm; {последний блок граничных условий}
end{of GAUSS_D};

```

Процедура обратного хода пишется для прямоугольного блока и имеет особенности применения для регулярных и нерегулярных блоков.

```
{процедура обратного хода для прямоугольного блока}
Procédure GR(i0 : integer ; n1 : integer);
begin
  i:=n0;
  repeat
    As(n1,y,A);{строка матрицы A в y} Uprk(c,y);{упаковка y в c}
    s:=0;
    for j:=i0+1 to nr-1 do s:=s+c[j]*y1[n1+j-i0];
    y1[n1]:=c[nr]-s;
    n1:=n1-1; i0:=i0-1; i:=i-1;
  until i<0;
end{of GR};
```

Pascal-программа метода исключения Гаусса для упакованной матрицы была реализована в Turbo-pascal 7.0 и протестирована на примерах с матрицами подобной структуры и известными решениями.

5. Выбор среды программной реализации

При расчете конструкций в рамках полученной модели (например, овальных корпусов аппаратов давления или корпусов с локальными вмятинами и выпучиваниями[11, 12, 13]) требуется довольно значительное число узлов сетки по каждой из координат ($N, M \sim 5 \cdot 10^2 - 10^3$). Так, при прочностном анализе подопорной области автоклава АП16 — 2×40.4 (длина корпуса 40.4 м., диаметр 2 м.) необходимо, чтобы по осевой координате на рассматриваемую область приходилось хотя бы десять точек сетки. Осевой размер подопорной области — 0.5 м. Тогда сетка по координате α_1 должна содержать не менее $20 \times 40.4 = 808$ точек. По окружной координате наиболее интересным в прочностном отношении является консольный участок опоры протяженностью примерно 3° (или ≈ 0.05 м.). Это приводит к еще большему числу точек сетки по координате α_2 . Сетка должна быть еще мельче, если анализируется поведение параметров НДС (напряженно-деформированного состояния) вблизи локальных вмятин или мест выпучивания корпуса. Это приводит к СЛАУ с матрицами, содержащими миллионы переменных и требующими для хранения (в упакованном виде) памяти порядка от сотен мегабайт до десятков гигабайт. Ясно, что при выборе программной среды следует остановиться на тех средствах создания приложений для Windows, в которых достаточно элементарно осуществляется доступ к динамическому выделению необходимой дисковой

памяти (лучше, если о таком доступе заботиться вообще не надо). Таковыми возможностями обладает Delphi, тем более что Pascal-процедуры встраиваются туда практически без изменений.

Литература

1. Никитенков В.Л. Деформационный вариант нелинейных уравнений статики ребристых оболочек. - "Автоклавы. Расчет, проектирование, опыт эксплуатации//Т. Всесоюзного семинара "Автоматизация инженерных расчетов при проектировании автоклавов" (под ред. проф. Е.И.Михайловского), Сыктывкар, 1992.С.168-197.
2. Развитие численных методов нелинейной теории оболочек// Отчет о НИР (рук. В.Л. Никитенков). Сыктывкар, 1998. 114 с.
3. Корнишин М.С., Паймушин В.Н., Снигирев В.Ф. Вычислительная геометрия в задачах механики оболочек. М: Наука, 1989. 207 с.
4. Казанина В.И. Нелинейные уравнения для овальной цилиндрической оболочки// Дипломная работа (рук В.Л. Никитенков). Сыктывкар:СыктГУ, 1999. 36 с.
5. Басацкая Ю.В. Нелинейные уравнения почти цилиндрической оболочки вращения// Дипломная работа (рук В.Л. Никитенков). Сыктывкар:СыктГУ, 1999. 41 с.
6. Черных К.Ф. Нелинейная теория упругости в машиностроительных расчетах. - Л.: Машиностроение, Ленингр. отд-ние, 1986.336с.
7. Новожилов В.В., Черных К.Ф., Михайловский Е.И. Линейная теория тонких оболочек. - Л.: Политехника, 1991.656с.
8. Nikitenkov V. L. Many-layer iterative procedures for solving the problems of mechanics of deformed rigid body//Transactions of SPASP. V. 1. 1997. P.101-115.
9. Малоземов В.Н., Певный А.Б. Полиномиальные сплайны. Л.:Изд-во Ленингр. ун-та, 1986. 120 с.
10. Завьялов Ю.С., Квасов Б.И., Мирошниченко В.Л. Методы сплайн-функций. М.:Наука, 1980. 352 с.

11. Никитенков В.Л. Вопросы прочности и проектирования тяжелых горизонтальных аппаратов давления//Автореф. дисс. докт. техн. наук. С-Пб.:1996. 39 с.
12. Доценко В.Д. Исследование влияния овальности на напряженно-деформированное состояние автоклавов./ Автореф. дисс. канд. техн. наук, Гатчина, 1986, 14 с.
13. Никитенков В.Л., Белых Д.Г. Система АВГОР// Автоматизация проектирования, 1997. 4. С.46-50.

Summary

Nikitenkov V.L. Rarefied matrixes in problems of shell theory

In this article the structure of rarefied matrixes is considered. These matrixes received as a result of solution of linear boundary value problems of shell theory by two-dimensional spline-collocation. Also questions of packing and program realization of Gauss method are discussed.

Сыктывкарский университет

Поступила 21.10.2000